

КИЇВСЬКИЙ НАЦІОНАЛЬНИЙ УНІВЕРСИТЕТ ІМЕНІ ТАРАСА  
ШЕВЧЕНКА

Фізичний факультет  
Кафедра ядерної фізики

На правах рукопису

**Галузь знань:** 10 «Природничі науки»

**Освітня програма** - Фізика

**Спеціальність** - 104 «Фізика та астрономія»

**Спеціалізація** Ядерна енергетика

**Кваліфікаційна робота бакалавра**  
студента 4 курсу  
Галонова Валентина Вікторовича

**Науковий керівник**  
канд. ф.-м. наук  
Єрмоленко Руслан Вікторович

Робота заслухана на засіданні кафедри ядерної фізики та рекомендована до захисту  
на ЕК, протокол , протокол № \_\_\_\_\_ від «\_\_\_\_\_» \_\_\_\_\_ 2020 р.

Завідувач кафедри

Каденко І. М.

Київ, 2020

## **ВИТЯГ**

з протоколу № \_\_\_\_\_  
засідання Екзаменаційної комісії

Визнати, що студент \_\_\_\_\_ виконав та захистив кваліфікаційну роботу бакалавра з оцінкою \_\_\_\_\_  
.

Голова ЕК \_\_\_\_\_

«\_\_\_\_\_» \_\_\_\_\_ 2020 р.

## Анотація

**Гапонов В.В.** "Дослідження можливості застосування нейтронно активаційного аналізу для пошуку корисних копалин в глибинах океану"

*Кваліфікаційна робота бакалавра за напрямом підготовки 6.040203 — Фізика, спеціалізація «Ядерна енергетика». — Київський національний університет імені Тараса Шевченка, фізичний факультет, кафедра ядерної фізики. — Київ, 2020.*

**Науковий керівник:** д. ф.-м. н. Єрмоленко Р.В.

Сьогодні дуже гостро ставиться питання нестачі ресурсів, на даний момент, вже вдалося досить точно знаходити та підтверджувати родовища на поверхні. Але згідно прогнозам цих родовищ вистачить не надовго, тому було звернено увагу на океани, які до сих пір повністю не дослідженні. Враховуючи умови проведення дослідження, для вирішення поставленої задачі був обраний нейтронно-активаційний аналіз. Ця робота проводилась надихаючись проектом "SABAT метою якого було створення системи пошуку відходів на дні Балтійського моря. Відповідно роботу можна розбити на такі етапи: вибір найбільш підходящих мінералів для тестування методу, моделювання геометрії за допомогою коду GEANT4, валідація моделі, аналіз отриманих даних. За основні матеріали для дослідження були обрані  $CuFeS_2$ ,  $Ag_3AuS_2$ ,  $U^{238}$ .

Для валідація моделі відбувався набір спектру  $C_4H_8Cl_2S$ . Всі етапи були виконані, та також був проаналізований спектор за відсутності мішені, для виявлення недоліків, та встановлення подальшого плану дій.

**Ключові слова:** Нейтронно активаційний аналіз, HPGe, GEANT4,  $CuFeS_2$ ,  $Ag_3AuS_2$ ,  $U^{238}$ ,  $C_4H_8Cl_2S$ , SABAT

# Summary

**Haponov V.V. "**

*Qualifying work of the bachelor on a speciality 6.040203 — physics, specialization "Nuclear power". — Taras Shevchenko National University of Kyiv, Faculty of Physics, Department of Nuclear Physics. — Kyiv, 2020.*

**Research supervisor:** Dr. R. Yermolenko.

**Key words:.**

# Зміст

<b>1</b>	<b>Вступ</b>	<b>2</b>
<b>2</b>	<b>Теоретична частина</b>	<b>3</b>
2.1	Фізична модель <i>QGSP_BERT</i> . . . . .	3
2.2	Мультиточність Geant4 . . . . .	4
2.3	Джерела нейтронів . . . . .	5
<b>3</b>	<b>Постановка задачі</b>	<b>6</b>
3.1	Геометрії моделювання . . . . .	6
3.2	Чутливий об'єм детектора та захист . . . . .	8
3.3	Досліджувані речовини . . . . .	9
3.4	Код моделі . . . . .	10
<b>4</b>	<b>Аналіз результатів</b>	<b>11</b>
4.1	Опис обробки спектру . . . . .	11
4.2	Валідація моделі . . . . .	13
4.3	Дослідження $(n, \gamma)$ реакцій, Au та Cu . . . . .	15
4.4	Аналіз спектрів $Ag_3AuS_2$ . . . . .	17
4.5	Аналіз спектрів $CuFeS_2$ . . . . .	18
4.6	Аналіз спектру $U^{238}$ . . . . .	19
<b>5</b>	<b>Висновки</b>	<b>20</b>
<b>6</b>	<b>Додатки</b>	<b>21</b>
	<b>Література</b>	<b>24</b>

# 1 Вступ

З розвитком технологій та промисловості, забрудненням навколишнього середовища, ростом популяції населення, все частіше починає піднімати питання нестачі вичерпання природних ресурсів. Особливо гостро це торкається невідновлюваних природних ресурсів. З кожним роком вичерпних родовищ стає все більше. Так, наприклад, по оцінкам "Римського клубу": запасів алюмінієвих руд вистачить на 55 років, міді - 49 років, заліза - 173 роки, свинцю - 64 роки, хрому - 154 роки. Це змушує шукати нові родовища.

З іншого боку 3/4 поверхні планети вкриті океанами, а по різних даним досліджено від 5% до 7% дна. Океанічне ложе має плоский або горбистий рельєф, та в основному від 3,5 - 6 кілометрів глибини, але зустрічаються глибоководні жолоби до 11 кілометрів в глибину, їх найбільше Тихому океані.

За рахунок досить складних умов і високого тиску, стандартні методи аналізу мінеральних порід за допомогою габаритного обладнання є дуже складними, а в деяких місцях такий етап пошуку родовищ як буріння опорних та параметричних свердловин є неможливим.

На основі проекту SABAT (Stoichiometry Analysis By Activation Techniques) - за мету в якому було поставлено пошук небезпечних речовин на дні Балтійського моря з використання нейтронно активаційного аналізу для неінвазивного дослідження об'єкту. Я допустив можливість використання даного методу дослідження для отримання більш розгорнутої інформації про океанічне дно.

## 2 Теоретична частина

### 2.1 Фізична модель *QGSP\_BERT*

*QGSP\_BERT* - ця фізична модель входить в перелік стандартних фізичних моделей розрахункового пакету Geant4. Базується на каскадній моделі Бертіні. Для валідації даної моделі необхідне виконання наступних умов  $\frac{\lambda_B}{\nu} \ll \tau_c \ll \Delta t$ ,  $\lambda_B$  - хвиля де-Бройля для налітаючої частинки,  $\nu$  - швидкість налітаючої частинки,  $\Delta t$  - час між зіткненнями. Модель реалізована в програмному пакеті Geant4 була протестована на частинках з енергіями від 100 MeV до 3 GeV.

В конструкторі даної фізичної моделі ініціалізуються наступні класи фізики:

- G4EmStandardPhysics
- G4EmExtraPhysics
- G4DecayPhysics
- G4HadronElasticPhysics
- *HadronPhysicsQGSP\_BERT*
- G4StoppingPhysics
- G4IonPhysics

Кожен з класів наслідується від базового класу фізичної G4PhysicsConstructor. Подібна архітектура дозволяє не дублювати код, та додавати лише необхідні процеси для моделювання.

*QGSP\_BERT\_HP* - це фізична модель що базується на данній - та має майже той самий перелік інкапсульованих класів, за виключенням наступних двох:

- *G4HadronElasticPhysicsHP*
- *HadronPhysicsQGSP\_BERT\_HP*

Ця фізична модель була створена для більш точного врахування процесів гальмування нейтронів в речовині, від енергій  $E_n = 20$  MeV до  $E_n = 0.0025$  eV (теплових). Ця фізична модель була провалідована на експерименті TARC

Тобто дані класи: *QGSP\_BERT* і *QGSP\_BERT\_HP* представляють собою інтерфейси з інкапсульованою в них базової фізики.

## 2.2 Мультипоточність Geant4

Geant4 - написаний на об'єктно орієнтованій мові програмування C++, яка дає можливість використовувати мульти-поточну архітектуру, і отримувати більшу продуктивність коду. При переносі процесу в інший потік, під процес бути виділене ядро тільки в тому випадку якщо воно не зайняте іншим процесом, це призводить до зменшення швидкості виконання при збільшенні кількості потоків.

При використанні мульти-поточної архітектури обов'язково необхідно дбати про синхронізацію потоків для безпечного виконання коду. Geant4 - використовує *G4MTRunManager* - данний клас наслідується від базового *G4RunManager* - але включає в себе реалізацію пулу потоків, це дає змогу контролювати кожен з об'єктів які створюються в рамках пулу, та валідувати їх.



Так як при моделюванні потрібно щоб кожен запуск відбувався з однаковими параметрами та за тієї ж самої геометрії, необхідно щоб класи інтерфейсу які відповідають за створення даних об'єктів були доступні для всіх об'єктів пулу.

## 2.3 Джерела нейтронів

Нейтронний генератор це одне з джерел нейтронів, в основі лежить  $D(D, n)He^3$ , та  $D(T, n)He^4$ , в реакції з тритієм утворюються нейтрони більш високих енергій, близько 14.2 MeV. Ядра D розганяються різницею потенціалів 100-300 кВ і спрямовуються на мішень з тритія чи дейтерія. Максимальний енергетичний вихід даної реакції 18.3MeV. В основі ізотопних джерел нейтронів лежить  $(\alpha, n)$  - реакція, в основному воно собою представляє запаяну капсулу циліндричної форми, та діє по схожому принципу, як і генератор. Як джерело альфа частинок поміщується ізотопи Pu, Am, Cm за мішень Be, Li. Такі джерела нейтронів в більшості своїй випромінюють нейтрони 2.8 MeV

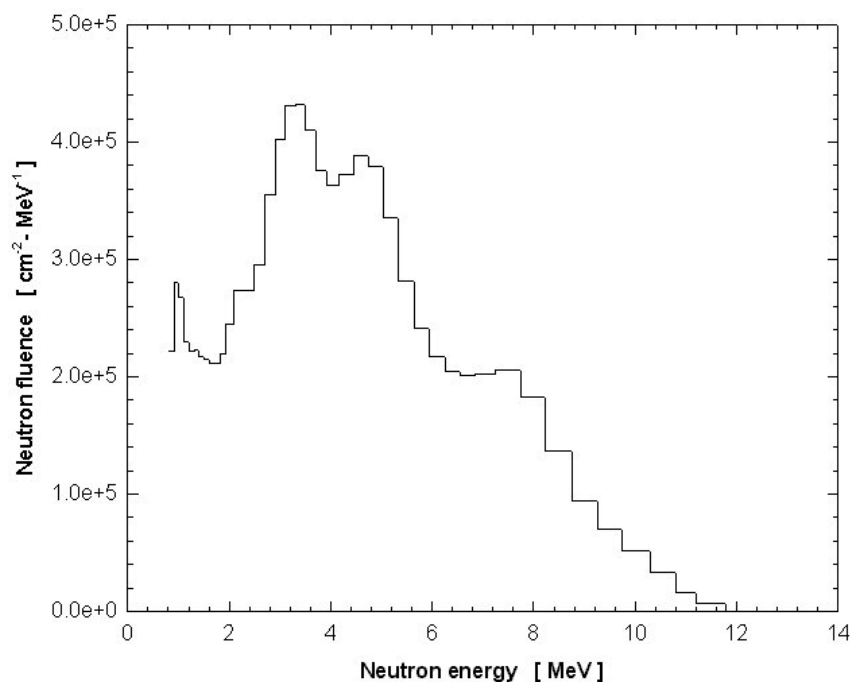


Рис. 2.1: Спектр нейтронів ізотопічного джерела з Рс та Ве - мішенню

## 3 Постановка задачі

Метою даної роботи було створення моделі за допомогою якої можна було б отримати інформацію про елементи що входять до складу океанічного дна.

### 3.1 Геометрії моделювання

Змодельована геометрія схожа на ту яка використовувалась у проєкті SABAT Рис. 3.1, але с наступними відмінностями: по-перше не моделювався корпус самої субмарини так як в він не ніс жодного корисного навантаження припроведені розрахунки, детектор та джерело були рознесені на дещо більшу відстань, та поміняні місцями, також на даному етапі було вирішено відмовитись від моделювання морського дна, так як це дуже суттєва знижувало ефективність виконання коду. Також було приділено більшу увагу моделюванню захисту детектора.

Геометрія яка використовувалась для набору спектрів зображена на

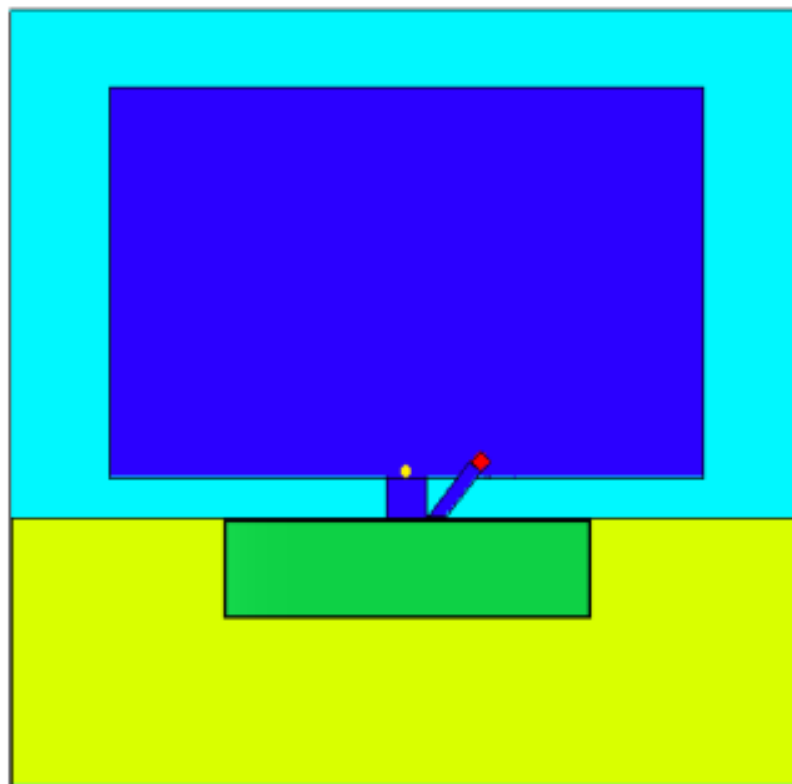


Рис. 3.1: Геометрія проекту SABAT

Рис. 3.2, довжина ребра куба середовища 1 м., довжина ребра бічної поверхні мішені (Рис. 3.2 - 3 ) 40 см., від мішені до чутливого об'єму детектора 30 см., від чутливого об'єму до джерела 30 см., (відстані задані не враховуючи зовнішній захист) матеріал середовища був взятий з запропонованою бази матеріалів Geant4 - "G4\_WATER". Джерело нейтронів поміщене в направляючий об'єм(Рис. 3.2 - 1), який виготовлений з тонкого шару свинцю. Чуттєвий об'єм детектора поміщений у захист зі свинцю, бору, та алюмінія, направляючі об'єми заповнені повітрям(G4\_AIR)

Для спрощення моделювання точкове джерело нейтронів було розміщене всередині набравляючого кооксіального об'єму Рис. 3.2 (червоного кольору), під кутом для того щоб більша кількість нейтронів потрапляла в поверхню яка безпосередню знаходиться під чутливим об'ємом

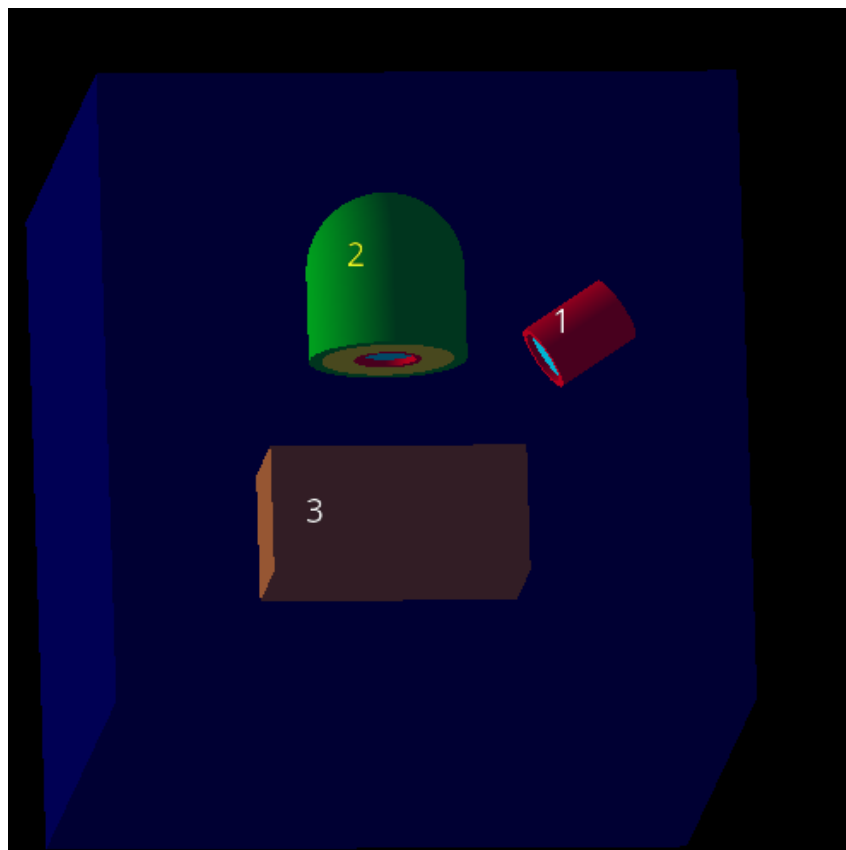


Рис. 3.2: Геометрія моделі, 1 - джерело і його направляючий об'єм, 2 - захист детектора та детектор, 3 - мішень

детектора

### 3.2 Чутливий об'єм детектора та захист

Для моделювання чутливого об'єму був обраний надчистий германій, з діаметром 60.6 міліметрів, та довжиною 56.7 міліметрів. Рис. 3.3

Детектор буде розміщений поряд з джерелом нейтронів високих енергій, 14.2 MeV. Тому детектор був розміщений у трьох шаровий захист. Рис. 3.4

В захисті використовується Бор для поглинання теплових нейтронів, так як вся детекторна система буде знаходитися під водою, то нейтрони від джерела будуть втрачати енергію при пружному розсіянні на водню.

Для поглинання теплових нейтронів перед чутливим об'ємом детекто-

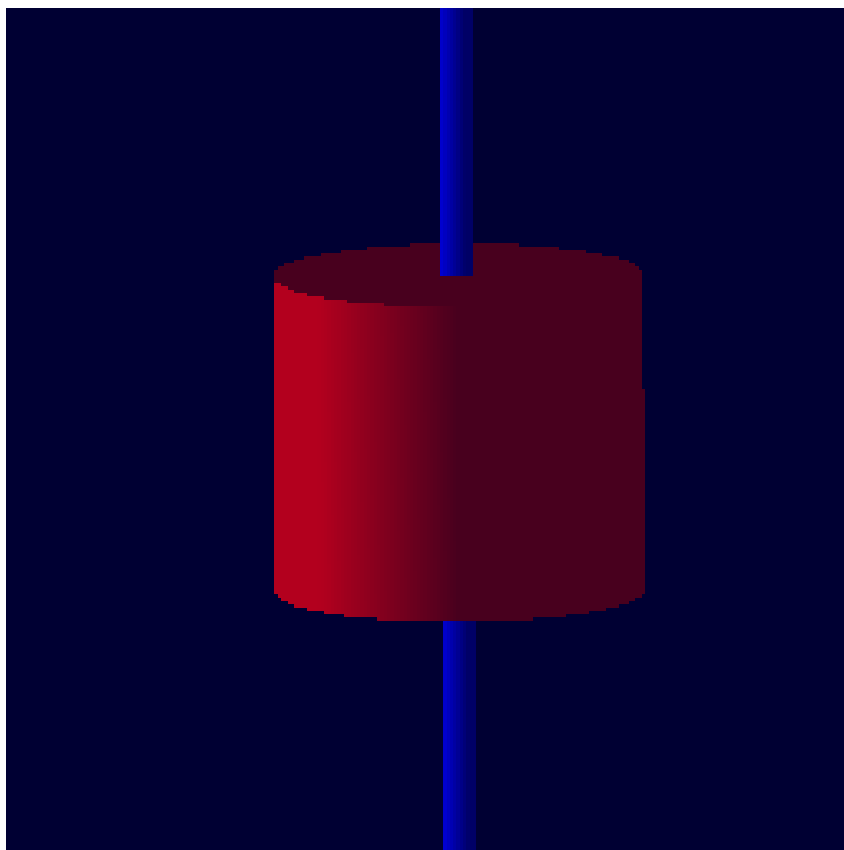


Рис. 3.3: Форма чутливого об'єму

ра був обраний  $B^{10}$ . Використовується в ПВЕЛ-ах для контролю кількості теплових нейтронів в активній зоні реакторної установки ВВЕР.  $B^{10}(n, \alpha\gamma)Li^7$ , Переріз захоплення нейтрона  $B^{10}$   $\sigma = 3380$  барн.  $E_\gamma = 480$  кеВ, реакція з вильотом  $\gamma$  - кванту протікає з ймовірністю 94%.

Для зовнішнього корпусу захисту чутливого об'єму використовувався  $Al^{26}$  - товщиною 1 см на Рис. 3.4 - зображений зеленим кольором

За приклад було взято детектор N21879A виробника від ORTEC АМЕТЕК, параметри розмірів були взяті від офіційного дистриб'ютора.

### 3.3 Досліджувані речовини

В рамках данного моделювання були розглянуті матеріали розглянуті в Таб. 3.1.

Найбільш інтенсивні піки для кожного з елементів розглянуті в Табл.

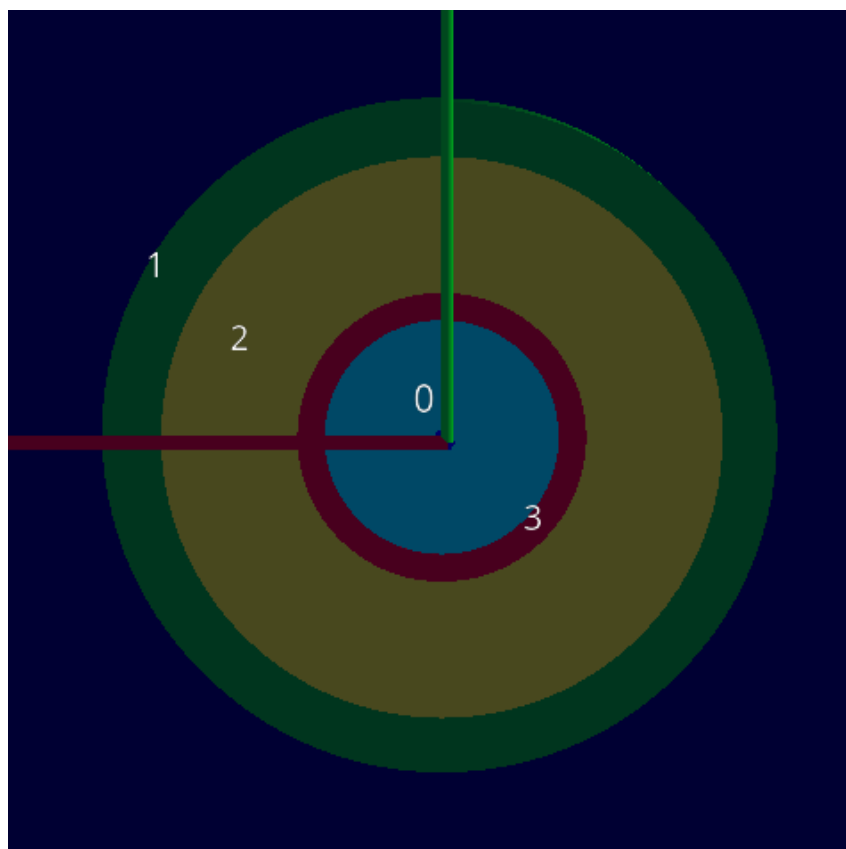


Рис. 3.4: Захист детектора, Al - 1 (зелений) товщина 2 см., В - 2 (жовтий) товщина 5 см., Pb - 3 (червоний) товщина 1 см. 0 (Блакитний) шар повітря

3.2, використовувались елементи з бази доступної в Geant4

### 3.4 Код моделі

Ціллю було написати максимально зручний код для набору спектрів за різних умов та на різних мішенях, тому були створені абстрактні класи для створення геометричних об'єктів. Для зручності створення матеріалів були створенні структури. Та для пришвидшення роботи були всі можливі константи ініціалізувалися на етапі компіляції. Для полегшення контролю над пам'яттю використовувалися розумні вказівники C++ 14 стандарту. Архітектура коду моделювання зображена на Рис. 3.5 Проаналізувавши різницю між двома фізичними моделями *QGSP\_BERT\_HP* та *QGSP\_BERT*, для проведення моделювання

Табл. 3.1: Елементи та ізотопи які входять до їх складу

Назва	Хімічна склад	Ізотопний склад
Гірчичний газ	$C_4H_8Cl_2S$	$C^{12}, H^1, Cl^{35}, S^{22}$
Ютенбогардтит	$Ag_3AuS_2$	$Ag^{108}, Au^{197}, S^{32}$
Халькопірит	$CuFeS_2$	$Cu^{64}, Fe^{56}, S^{22}$
Збіднений уран	U	99.27% $U^{238}$ , 0.7% $U^{235}$ , 0.005% $U^{234}$

Табл. 3.2: Таблиця енергій найбільш інтенсивних піків

Елемент	Енергія, MeV
$Cl$	0.79, 1.17, 1.94, 2.12, 6.12, 7.79, 8.58
$H$	2.23
$C$	4.44
$Fe$	7.64, 9.30
$S$	2.96, 4.73
$Cu$	
$U$	1.26
$Ag$	0.74, 6.26
$Au$	0.67, 1.087, 2.24, 1.37

була обрана *QGSP\_BERT* - так як на данному етапі вона виявилась більш підходящою, через вищу продуктивність.





Параметр	Значення	Розмірність
$F$	0.13	-
$w$	3.62	eV

Табл. 4.1: Таблиця значень для уширення піків

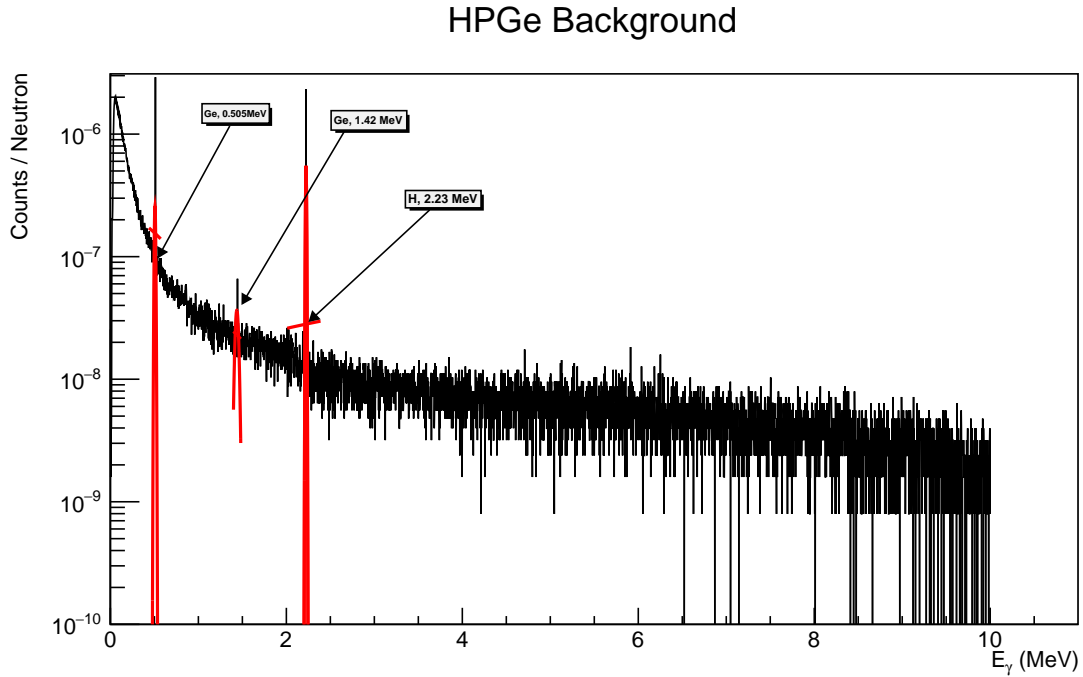


Рис. 4.1: Фон

наступні три піки: H з  $E_\gamma = 2.23 \text{ MeV}$ , та два піки які отримали за рахунок захоплення теплових нейтронів Ge з  $E_\gamma = 0.505 \text{ MeV}$ ,  $E_\gamma = 1.42 \text{ MeV}$  - це означає що даної геометрії частина нейтронів від джерела проходячи через захист потрапляє в чутливий об'єм детектора, та призводить до його руйнації. Дані піки відповідають пікам  $Ge^{72}(n, \gamma)Ge^{73}$  - реакції з нейтронами енергій близькими до теплових -  $E_n = 0.025 \text{ eV}$ .  $Ge^{72}$  - основний ізоотп Ge, і саме він використовується в основі чутливого об'єму.

## 4.2 Валідація моделі

Для підтвердження можливості проведення наборів на моїй моделі був набраний спектор для Гірничного газу ( $C_4H_8Cl_2S$ ). Рис 4.2. Та по-

$E_\gamma$ , MeV	$\Delta E$ , MeV	$I = I_\gamma/I_b$	$\Delta I$
0.505	0.008	12	3
1.420	0.004	20	4
2.230	0.003	22	4

Табл. 4.2: Фонові піки

рівняний з отриманим спектром набраним за допомогою коду для моделювання MCNP в проекті SABAT. Це спектор набрався для валідації моделі

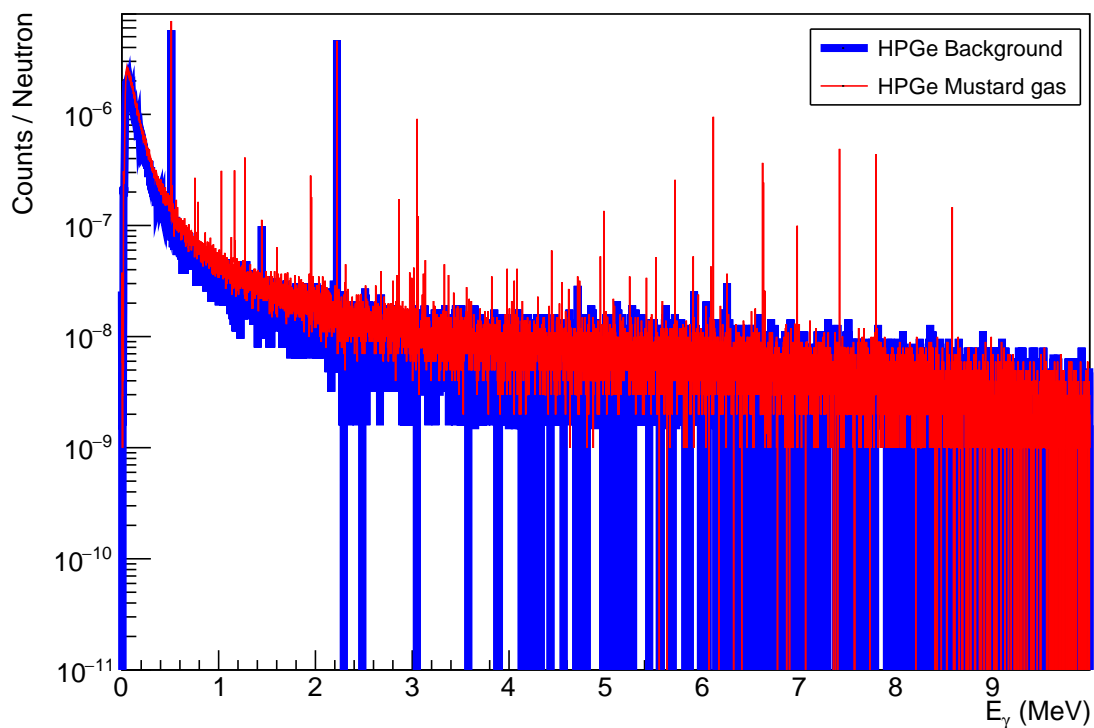


Рис. 4.2: Червоним - представлений спектр для Гірничного газу. Синім - фону

- тому до уваги бралися лише ті піки, які були вказані в проекті SABAT.

Табл. 4.3

$E_\gamma$ , MeB	$\Delta E$ , MeB	$I = I_\gamma/I_b$	$\Delta I$	Елемент
0.79	0.008	12	3	Cl
1.165	0.004	20	4	Cl
1.95	0.003	22	4	Cl
4.44	0.003	22	4	C
7.41	0.003	22	4	Cl
7.78	0.003	22	4	Cl
8.58	0.003	22	4	Cl

Табл. 4.3: Піки гірчичного газу -  $C_4H_8Cl_2S$

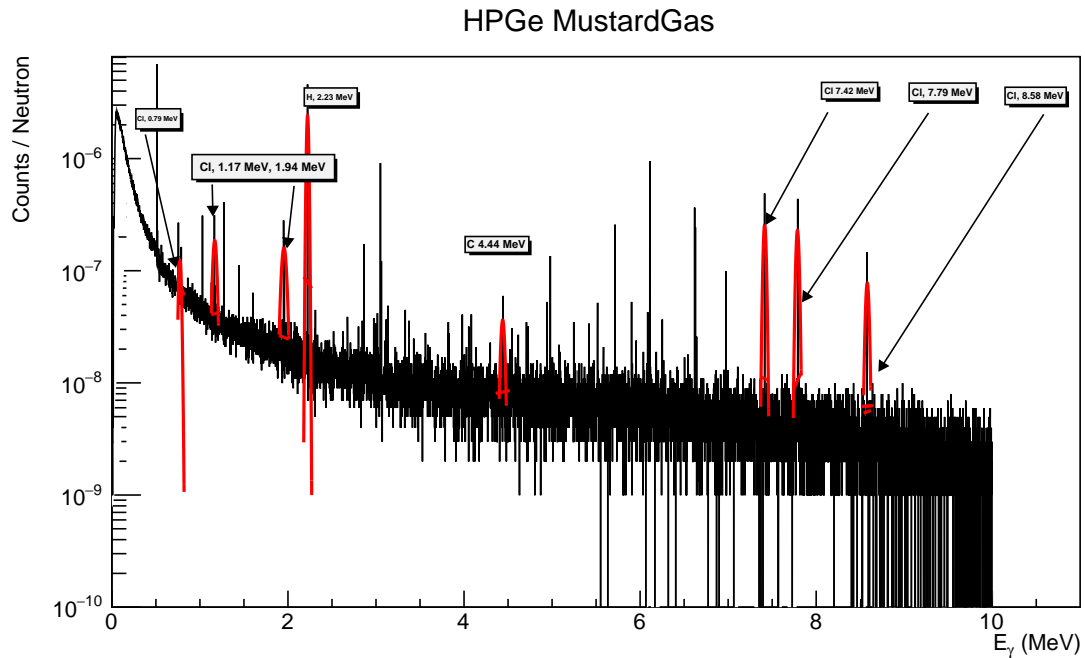


Рис. 4.3: Ініціалізація піків, Cl, H, C - в спектрі гірчичного газу

### 4.3 Дослідження $(n, \gamma)$ реакцій, Au та Cu

$Au^{197}(n, \gamma)Au^{198}$  - реакція захоплення нейтрона, переріз захоплення нейтронів в залежності від енергії зображено на Рис. 4.4.

$Au^{198}$  - ізоотп, має 2 - рівні в результаті розпаду з яких випромінюється гамма кванти,  $T_{1/2} = 2.6$  днів. На Рис. 6.3 зображено перехід з збудженого  $J^\pi$  12- на  $J^\pi$  2- з якого у данного ізотопа відбувається  $\beta^-$

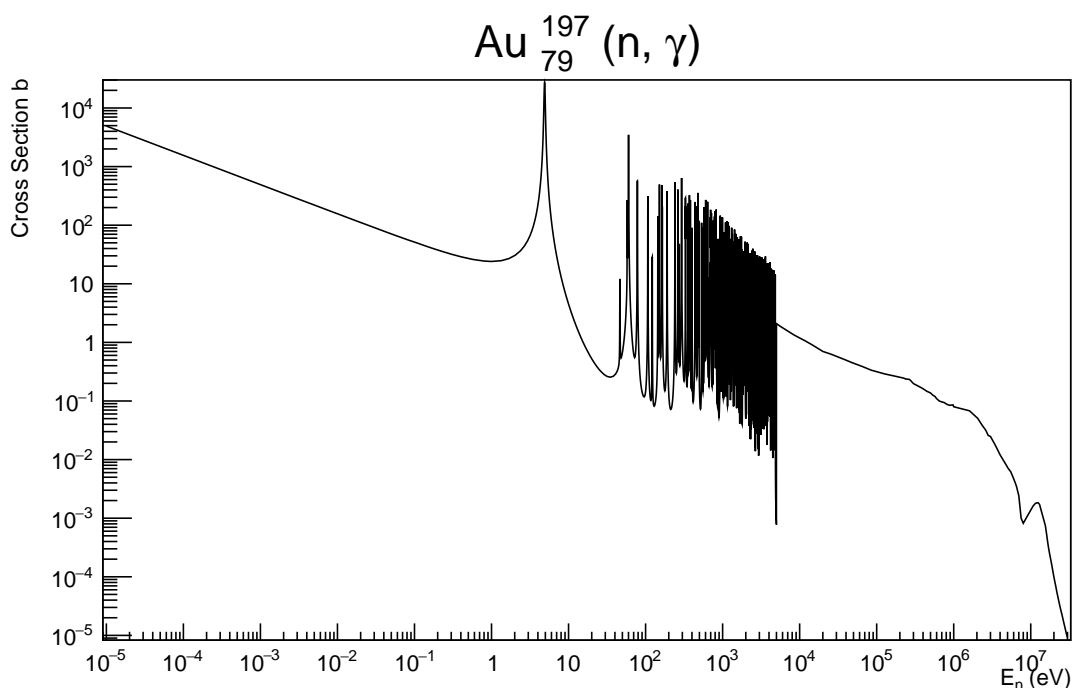


Рис. 4.4: Залежність захоплення нейтрона від енергії нейтронів в реакції  $Au^{197}(n, \gamma)Au^{198}$

розпад до стабільного  $Hg^{198}_{80}$ .

$Hg^{198}$  - має два збудженні рівні  $J\pi$   $2+$  - перехід з в основний стан відбувається з випромінювання  $\gamma$ -кванту  $E_\gamma = 1087 keV$ , каскадний перехід є основним способом переходу на стабільний рівень  $Hg^{198}$ , відбувається з випромінювання двох  $\gamma$ -квантів  $E_\gamma = 675 keV$  та  $E_\gamma = 411 keV$ .

На Рис. 4.4 - гарно видно що є резонансна область поглинання нейтронів розтягується до декількох кеВ.

В реакція  $Cu^{64}(n, \gamma)Cu^{65}$  переріз захоплення теплового нейтрона  $\sigma = 2.1 \times 10^3 \pm 1.9 \times 10^3$  барн.  $Cu^{65}$  - стабільний елемент.  $Cu^{65}(n, \gamma)Cu^{66}$ . Для данного ізотопу спостерігається існування резонансної області в діапазоні десятків кеВ Рис. 4.5.  $Cu^{66}$  - не стабільний ізотоп, якому притаманний  $\beta^-$  розпад в  $Zn^{66}_{30}$ ,  $T_{1/2} = 5.12$  хвилини.  $Zn^{66}$  - стабільний ізотоп з основним рівнем  $J\pi$   $0+$ .  $\beta^-$  - розпад  $Cu^{66}$  в основному відбувається у стабільний стан, але є ймовірність розпаду на  $J\pi$   $1+$  рівень, з подальшим випромінювання  $\gamma$  - кванту з енергією  $E_\gamma = 1039 keV$ . Рис. 6.4

$E_n$ , eB	$E_\gamma$ , keB	$\Delta E_\gamma$ , keB	$I_\gamma/100n$	$\Delta I$
4.9	6252.6	0.7	40.0	1.6
4.9	6457.8	0.7	20.4	0.5
4.9	5710.7	0.7	10.1	0.7
60	6061.3	0.9	16.2	1.5
60	5710.7	0.7	16.0	1.5
78	4958	1.0	10.5	0.6
107	5808.2	0.9	17.3	1.0

Табл. 4.4:  $E_\gamma$ , для нейтронів з енергіями поблизу резонансної області для  $Au^{197}$

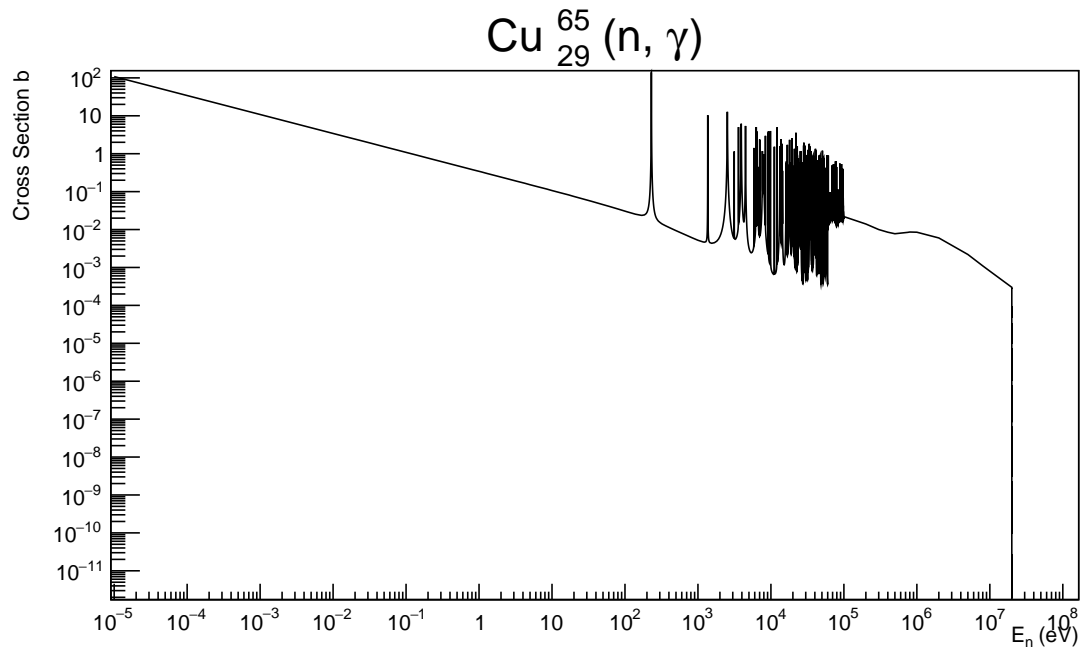


Рис. 4.5: Залежність захоплення нейтрона від енергії нейтронів в реакції  $Cu^{65}(n, \gamma)Cu^{66}$

#### 4.4 Аналіз спектрів $Ag_3AuS_2$

За матеріал було обрано ютенбогарттит  $Ag_3AuS_2$  - родовища з даними мінералами були знайдені на камчатці поблизу узбережжя. Данний

мінерал відноситься до рідкісних золотоносних руд, зустрічається в природі у твердому стані. Був знайдений на Камчатських родовищах. Рис. 4.6 Даний спектор і фон були набрані при опроміненні нейтронами з

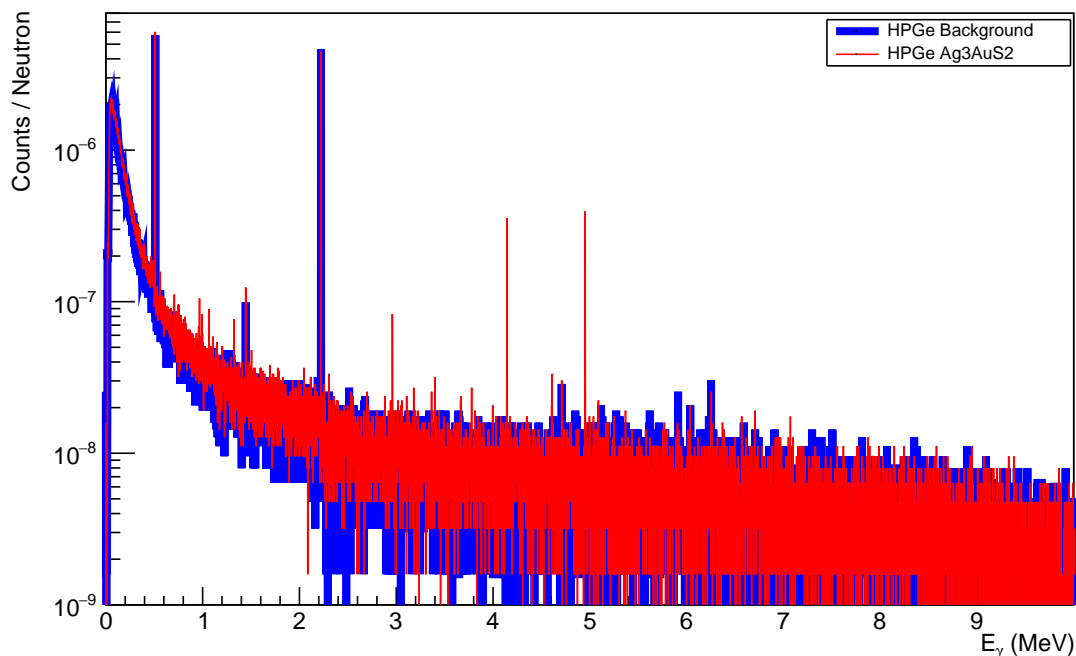


Рис. 4.6: Червоним - представлений спектор для  $Ag_3AuS_2$ . Синім - фону

джерела максимальної енергією 14.2 MeV Для порівняння було проведено опромінення за допомогою нейтронів енергією 8.5 та 2.8 MeV. Рис. 6.1 В набраному спектрі при енергіях нейтронів з джерела 8.5 MeV, були проаналізовані наступні піки Для того щоб проаналізувати залежність можливості використання ізотопних джерел був набраний спектор, за енергій нейтронів 2.8 MeV Рис. 6.2

## 4.5 Аналіз спектрів $CuFeS_2$

Даний мінерал являється основною складовою мідної руди, спектор для нього представлений на Рис. 4.8 В високо енергетичній частині спектру можна спостерігати пік для  $S_2$

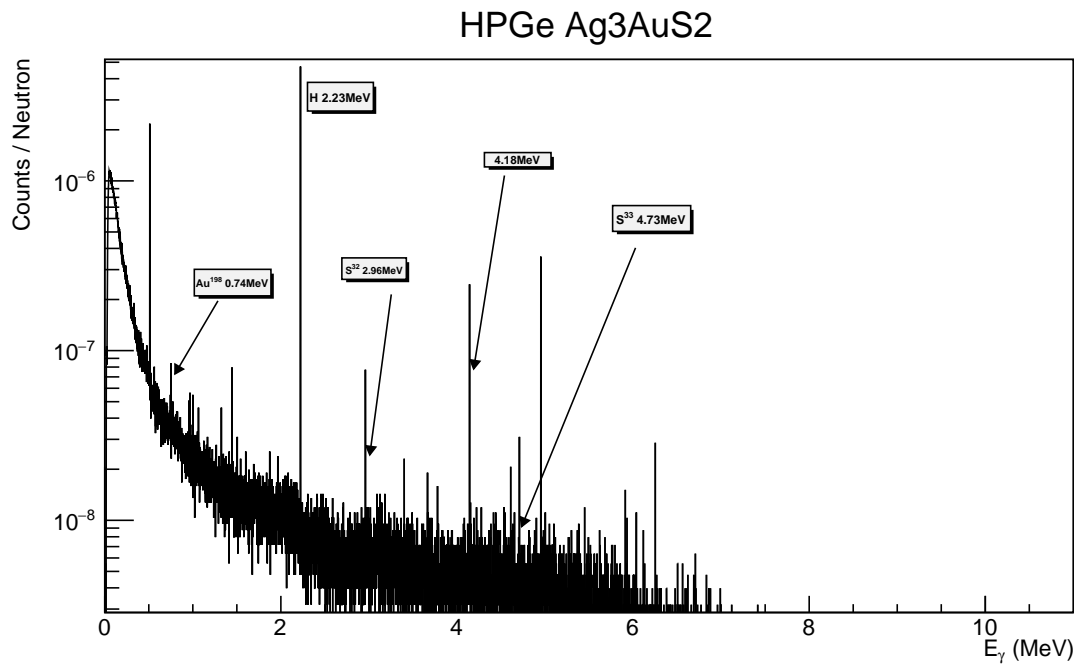


Рис. 4.7: Спектор  $Ag_3AuS_2$ ,  $E_n = 8.5MeV$  - енергія нейтронів з джерела

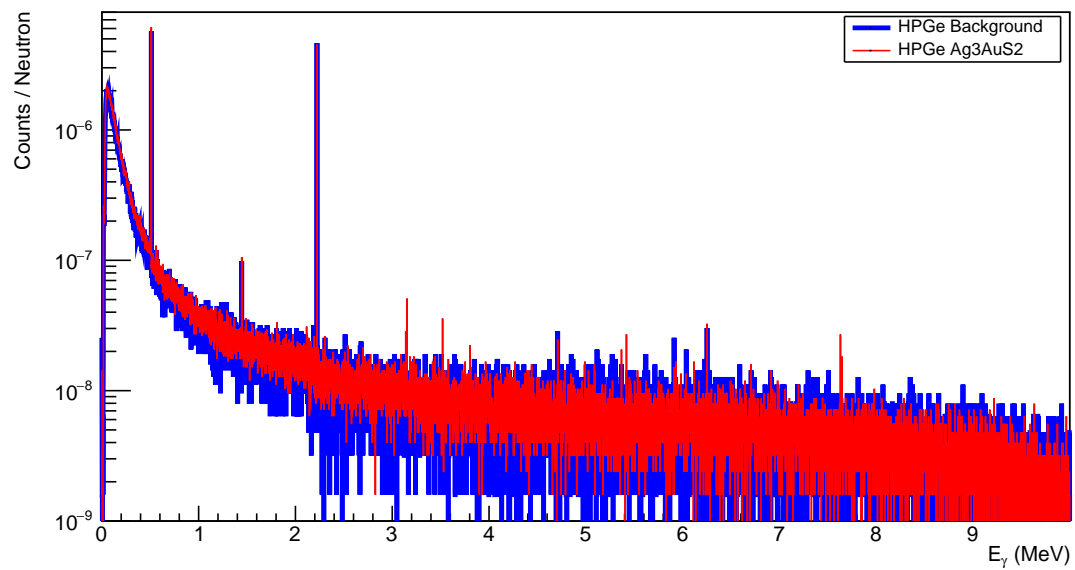


Рис. 4.8: Червоним - представлений спектр для  $CuFeS_2$ . Синім - фону

## 4.6 Аналіз спектру $U^{238}$

Було обрано збіднений уран, з наступним ізотопним складом 99.27%— $^{238}U$ , 0.72%— $^{235}U$ , 0.005%— $^{234}U$ , У ході набору було отримано наступний спектр Рис. 4.9

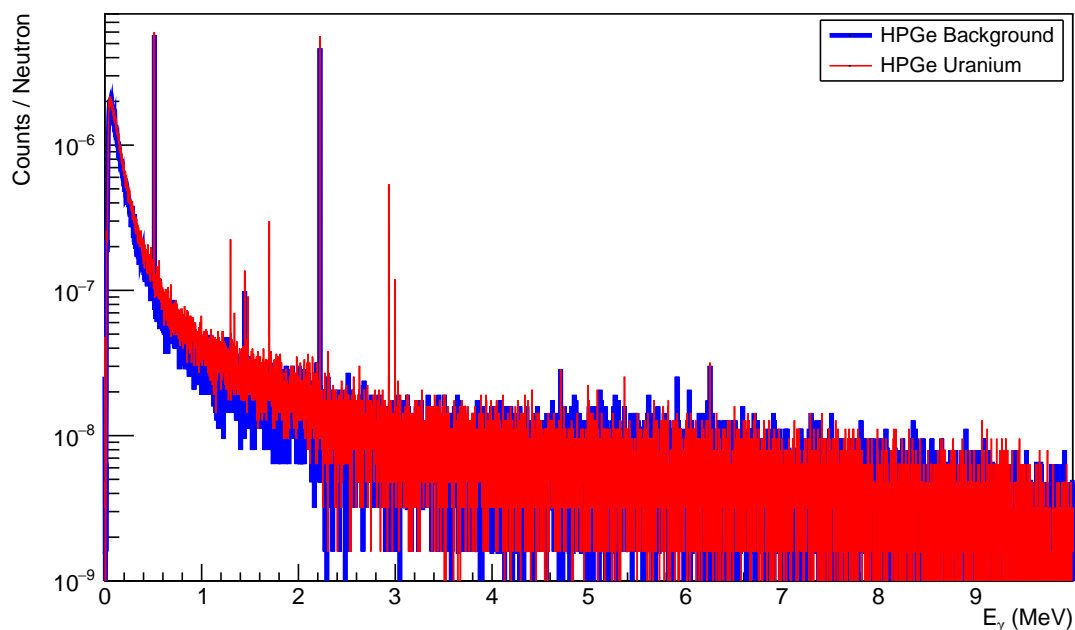


Рис. 4.9: Червоним - представлений спектр для  $U^{238}$ . Синім - фону

## 5 Висновки

Для роботи було обрано ряд матеріалів, що входять до складу металічних руд.

Для кожного з даних матеріалів були набрані та проаналізовані спектри, та встановленні значення інтенсивності відносно фону.

Модель успішно пройшла валідацію.

Проведення набору спетрів для нейтронів різних енергій дало, можливість виявити та зареєструвати недоліки даної моделі та геометрії.

На даному етапі було проведено перевірку використання даної моделі для обмеженої кількості речовин.

Встановлена відстань від джерела нейтронів до досліджуваної речовини може варіювати і бути більшою за 30 см. при енергіях нейтронів 14.2 MeV.



## 6 Додатки

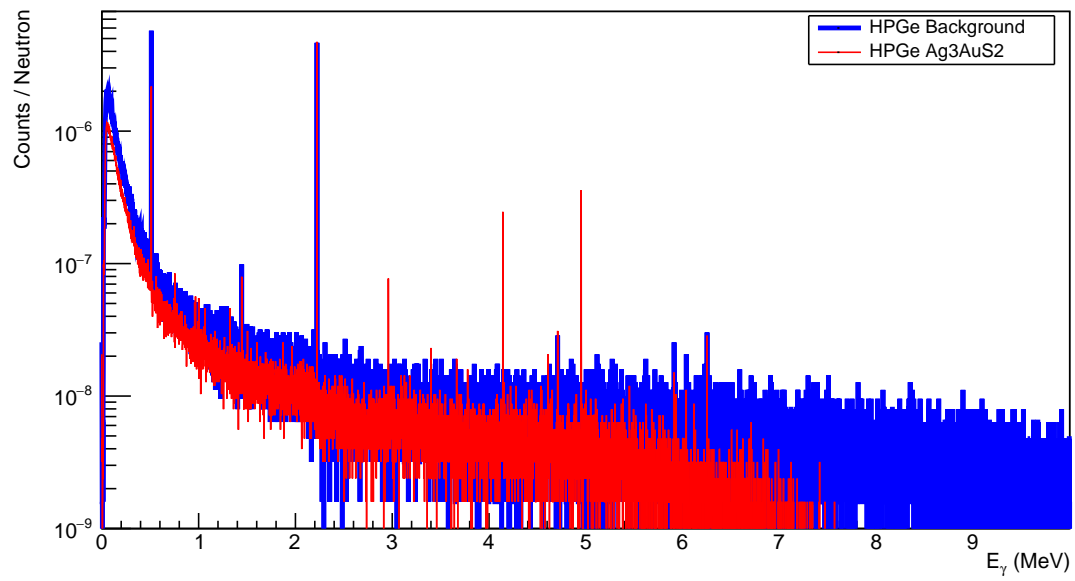


Рис. 6.1: Червона - лінія спектру, набраного за опромінення нейтронами 8.5 MeV

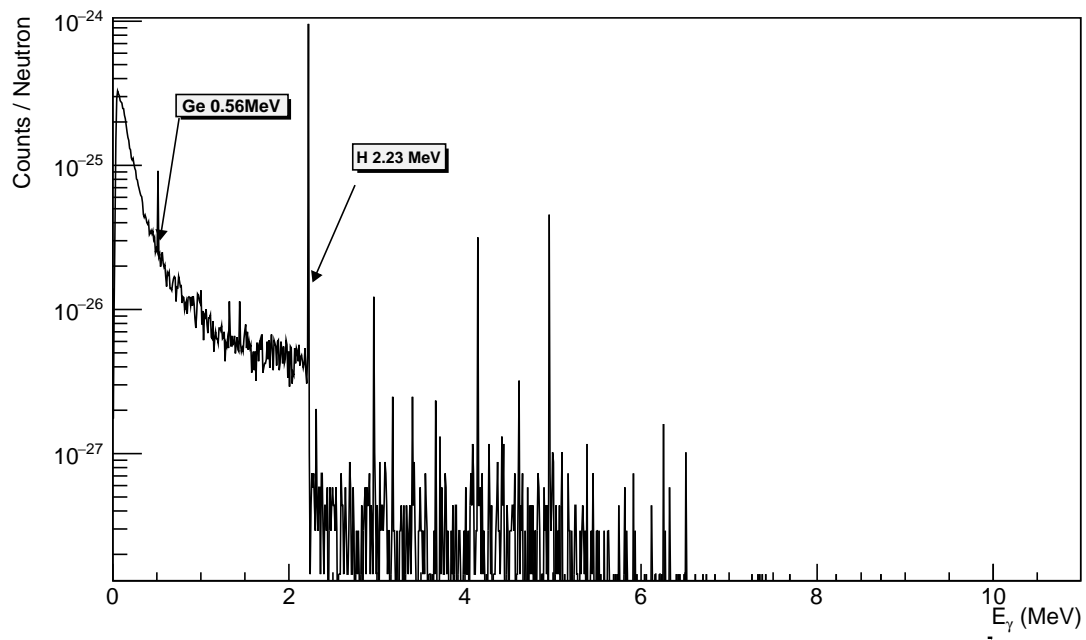


Рис. 6.2: Червона - лінія спектру, набраного за опромінення нейтронами 8.5 MeV

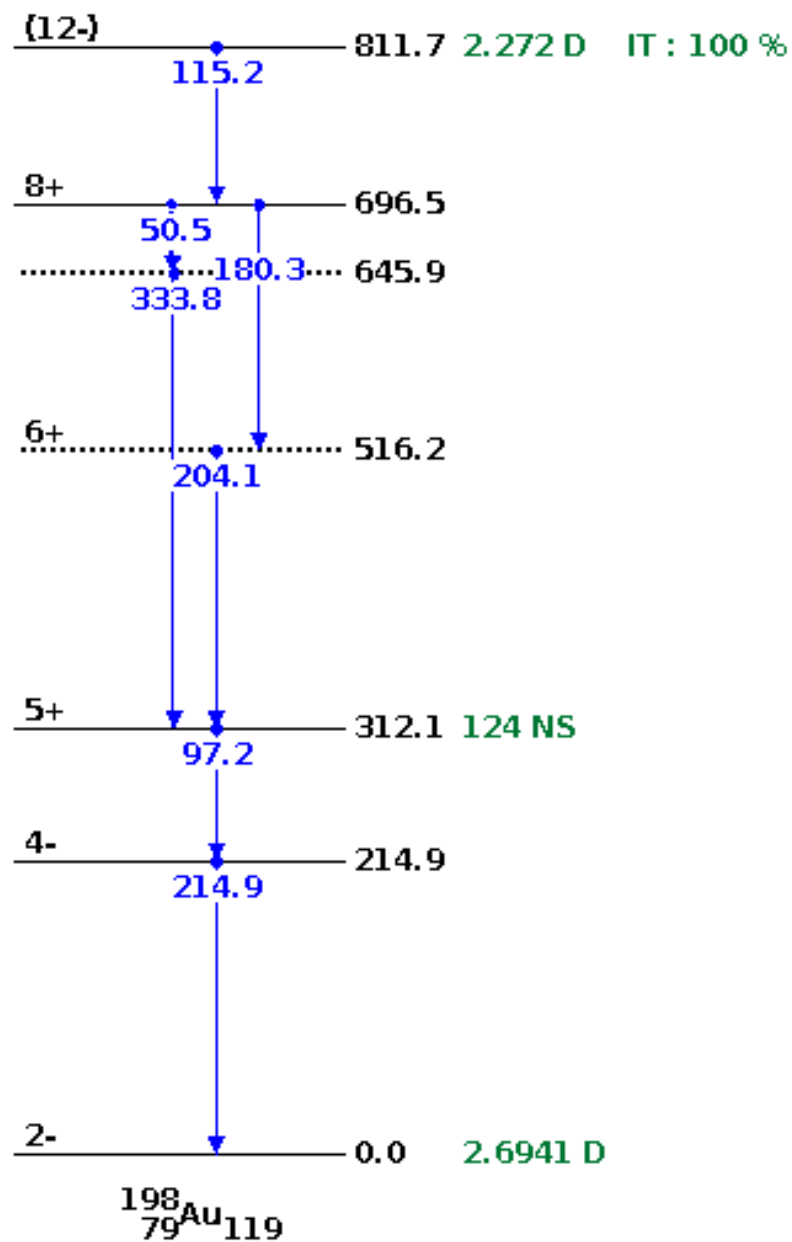


Рис. 6.3:  $Au^{198}$  Рівень  $J\pi 12-$

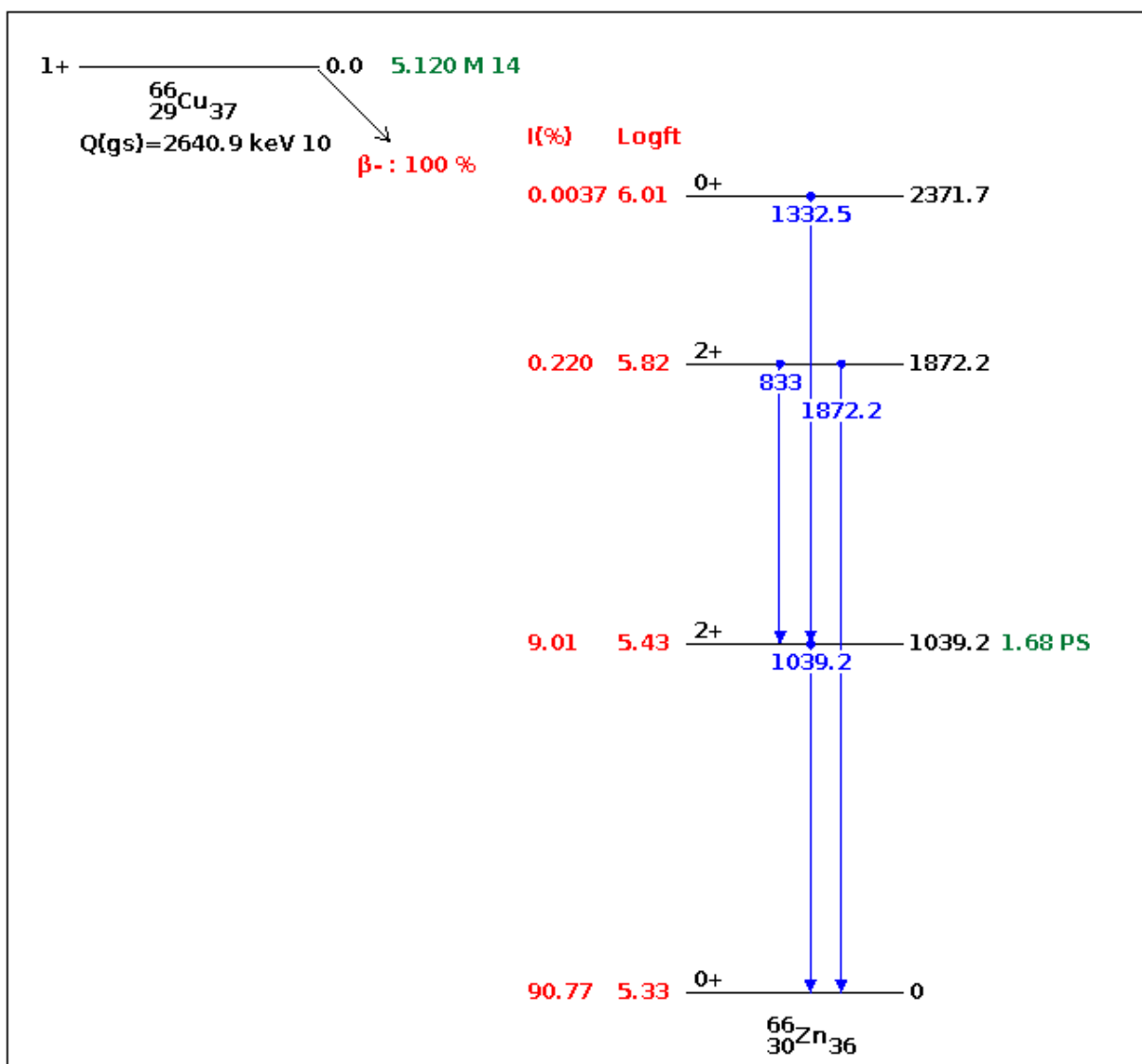


Рис. 6.4:  $\text{Cu}_{29}^{66}(\beta^- \tilde{\nu})\text{Zn}_{30}^{66}$  Схема розпаду та збудженні рівні  $\text{Zn}^{66}$

# Література

- [1] *R.M. Keyser and T.R. Twomey* - Extended Source Sensitivity and Resolution Comparisons of Several HPGe Detector Types with Low-energy Capabilities
- [2] *Aatos Heikkinen, Nikita Stepanov Helsinki Institute of Physics, P.O. Box 64, FIN-00014 University of Helsinki, Finland Johannes Peter Wellisch CERN, Geneva, Switzerland* - Bertini intra-nuclear cascade implementation in Geant4
- [3] *Ю.В. Сереткин, Г.А. Пальянова Институт геологии и минералогии им. В.С. Соболева СО РАН* - ИЗОМОРФНОЕ ЗАМЕЩЕНИЕ СЕРЫ СЕЛЕНОМ И МОРФОТРОПНЫЙ ПЕРЕХОД В РЯДУ  $Ag_3Au(Se, S)_2$
- [4] *В. М. Округин<sup>1</sup>, А. У. Ким* О рудах Асачинского золото-серебряного месторождения (Южная Камчатка)
- [5] *Омельчук О.В., Загнітко В.М., Курило М.М.* ПОШУКИ ТА РОЗВІДКА РОДОВИЩ КОРИСНИХ КОПАЛИН КИЇВСЬКИЙ НАЦІОНАЛЬНИЙ УНІВЕРСИТЕТ ІМЕНІ ТАРАСА ШЕВЧЕНКА Навчально-науковий інститут «Інститут геології»
- [6] *Experimental Nuclear Reaction Data*
- [7] *O. A. Wasson, R. E. Chrien, M. R. Bhat, M. A. Lone, and M. Beer*  $Au^{197}(n, \gamma)Au^{198}$  Reaction Mechanism
- [8] *I.A.Kondurov, A.I.Egorov, M.Kaminker, E.M.Korotkikh, A.M.Nikitin* Neutron capture cross sections measurements for Co58m, Cu64, and Sc46
- [9] *Geant4 Collaboration* Book For Application Developers Release 10.3

- [10] *Alexander Howard, Gunter Folger, Jose Manuel Quesada, Vladimir Ivanchenko* Validation of Neutrons in Geant4 Using TARC Data - production, interaction and transportation
- [11] *Héctor René, Vega-Carrillo Celia, Torres-Muñoz, Universidad Autónoma de Zacatecas* Low energy neutrons from a  $^{239}\text{PuBe}$  isotopic neutron source inserted in moderating media